

# یک آتنن میکرواستریپ فرکتالی کوچک شده با عملکرد چندفرکانسی

شاهرخ جم و آرش مهبدی

روش‌ها اکثراً مراحل طراحی و ساخت را پیچیده می‌کنند و علاوه بر این پس از کوچک‌سازی آتنن، مشخصات تشعشعی به شدت افت می‌کند و باعث ناکارامدی آتنن می‌شود. همچنین با این روش‌ها تنها ابعاد کوچک می‌شود ولی تعداد فرکانس تشیدی یا پهنای باند آنچنان تغییری نمی‌کند. در این مقاله تلاش کردیم تا بر اساس ساختارهای فرکتالی، آتنن را طراحی کنیم که علاوه بر ابعاد آن مشخصات تشعشعی نیز مطلوب باشد. برترین مزیت استفاده از ساختارهای فرکتالی نسبت به سایر روش‌های کوچک‌سازی، آسان‌تر بودن و ارزان‌تر بودن در ساخت است. بدین معنی که نه پیچیدگی‌های دیگر روش‌ها را دارد و نه نیاز به هزینه زیاد برای ساخت آتنن. همچنین با استفاده از این ساختارها می‌توان تعداد فرکانس تشیدی و یا پهنای باند را افزایش داد. در ادامه توضیح می‌دهیم که فرکتال‌ها چگونه می‌تواند ابعاد را کوچک و تعداد فرکانس تشیدی را افزایش دهد.

## ۲- تئوری

اگر یک آتنن به همراه اجزا و مؤلفه‌هایش در یک کره فرضی به شعاعی برابر با بزرگ‌ترین بعد آتنن محصور شود و بتواند حجم موجود در فضا را به طور مؤثرتری پر کند، پهنای باند آتنن می‌تواند بهبود یابد [۱۲]. در شکل ۱ نمونه‌ای از این موضوع نمایش داده شده است. یکی از انواع آتنن‌ها که می‌تواند فضای درون این کره را به طور مؤثرer و بهتری پر کرده و به کار گیرد، آتنن فرکتال است. این آتنن‌ها مبتنی بر مفهوم فرکتال هستند که یک هندسه توپولیشونده تکراری و ابعاد جزیی و کوچک دارند که توسط مندلبرت معروفی شد [۱۳].

ویژگی‌های فرکتال که باعث شده از آن در طراحی آتنن‌ها استفاده شود عبارتند از:

### (الف) خاصیت خودمتشابهی

خاصیت خودمتشابهی<sup>۳</sup> به معنای توانایی فرکتال‌ها در محصور کردن یک منحنی با طول بینهایت در یک محیط محدود می‌باشد. این خاصیت فرکتال‌ها آنها را برای طراحی آتنن‌ها با پهنای باند بسیار بزرگ و اجد شرایط می‌کند و این امکان را فراهم می‌کند تا آتنن بتواند عملکردی چندبانده داشته باشد. به دلیل این که وقتی یک قسمت از آتنن به تشیدی می‌افتد، به علت تشابهی که به کل دارد و تنها در اندازه متفاوت است، آتنن می‌تواند در یک بازه فرکانسی دیگر تشیدی کند [۱۴].

Towaniایی چندبانده شدن فرکتال‌ها را به وسیله مطالعه رفتار تکقطبی و دوقطبی سریبنسکی اثبات کرد [۱۵].

### (ب) خاصیت فضاضاپرکنی

یکی از ویژگی‌های خاص و منحصر به فرد آتنن‌های فرکتال، خاصیت فضاضاپرکنی<sup>۴</sup> آنهاست. همان‌طور که قبلًا نیز اشاره شد، هرچه یک آتنن

چکیده: کاربردهای زیادتر و متنوع‌تر سیستم‌های مخابراتی نیاز به استفاده بیشتری از تمامی طیف الکترومغناطیسی را الزامی کرده است و همچنین به وجود آمدن سیستم‌های چندبانده نیاز به آتنن‌هایی با قابلیت تشیدی در چند فرکانس را افزایش داده است. امروزه با توجه به پیشرفت سیستم‌های بی‌سیم استفاده از آتنن‌های سیک، ساده، کوچک و ارزان که بتواند چند طیف فرکانسی سیستم را پوشش بدهد یک نیاز اساسی است. در این مقاله آتننی با ایده فرکتالی میکرواستریپی پیشنهاد و طراحی می‌شود که با ابعادی کوچک و سبک و همچنین قیمتی ارزان در چندین فرکانس تشیدی کند. این آتنن در محدوده فرکانسی حدود یک گیگاهرتز تا ده گیگاهرتز دارای پنج فرکانس تشیدی است. نتایج اندازه‌گیری آتنن ساخته شده با نتایج شبیه‌سازی که توسط نرم‌افزار HFSS انجام گرفته، تطبیق خوبی را نشان می‌دهد. همچنین این آتنن دارای پترن مناسب و قطبش دایروی است که کاربرد آن را بیشتر می‌کند.

**کلیدواژه:** آتنن فرکتال، کوچک‌سازی، چندفرکانسی، آتنن میکرواستریپ، کوبیلنگ مجاورتی.

## ۱- مقدمه

میان ابعاد آتنن و طول موج سیگنال، ارتباط تنگاتنگی وجود دارد که این امر معمولاً به عنوان یکی از قبود دست و پا گیر در طراحی آتنن‌ها به شمار می‌آید [۱]. هنگامی که ابعاد یک آتنن خیلی کوچک‌تر از طول موج عملکرد آن ساخته شود، راندمان آن آتنن به شدت کم و مقاومت تشعشعی آن کاهش می‌یابد، در حالی که به طور نسبی انرژی راکتیو ذخیره شده در مجاورت آتنن به شدت افزایش می‌یابد. هر دو پدیده یک آتنن کوچک را برای تطبیق کردن با مدار تعذیه دچار مشکل می‌کند و چنانچه تطبیق امپدانس صورت گیرد، آتنن دارای  $\Omega$  زیاد و پهنای باند خیلی باریک خواهد شد.

مشخصه‌های تشعشعی آتنن‌ها (از قبیل الگوی تشعشعی، امپدانس، بهره و ...) به فرکانس بسیار حساس هستند [۲] و میزان تغییر این مشخصه‌ها به عنوان تابعی از فرکانس، به پهنای باند آتنن بستگی دارد [۳] و [۴].

تاکنون روش‌های گوناگونی برای کاهش ابعاد آتنن از قبیل استفاده از دی‌الکتریک با ضریب نفوذپذیری بالا [۲]، استفاده از اتصال کوتاه برای زیرلایه‌های نازک [۵]، شکاف‌گذاری در صفحه تشعشعی آتنن [۶]، شکاف‌گذاری در صفحه زمین [۷]، استفاده از آتنن L شکل معکوس<sup>۱</sup> (PIL) و یا انواع دیگر آتنن‌های تاشده<sup>۲</sup> را ارائه شده است [۸] تا [۱۱]. این

این مقاله در تاریخ ۱۶ فروردین ماه ۱۳۹۵ دریافت و در تاریخ ۱ آبان ماه ۱۳۹۵ بازنگری شد.

شاهرخ جم، دانشکده مهندسی برق و الکترونیک، دانشگاه صنعتی شیراز، شیراز، (email: jam@sutech.ac.ir)

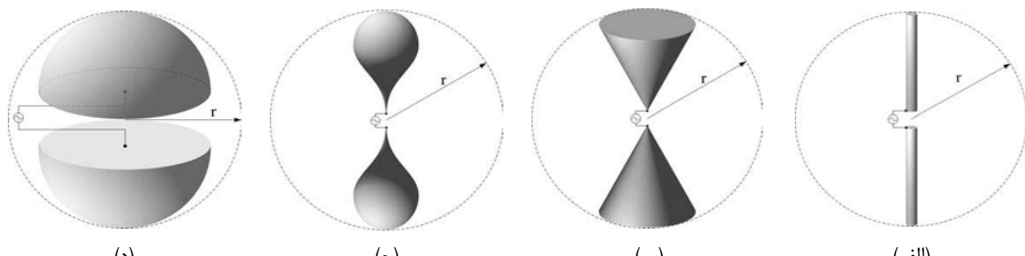
آرش مهبدی، دانشکده مهندسی برق و الکترونیک، دانشگاه صنعتی شیراز، شیراز، (email: mehboodi@sutech.ac.ir)

1. Planar Inverted-L Patch

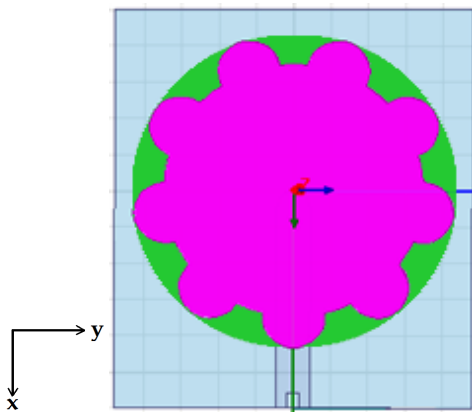
2. Folded Patch

3. Self Similarity

4. Space Filling



شکل ۱: ترکیبات دوقطبی و پهنهای باند معادل متناظر [۲]، (الف) پهنهای باند باریک، (ب) پهنهای باند متوسط، (ج) پهنهای باند متوسط و (د) پهنهای باند پهن.



شکل ۲: آنتن دایروی اولیه و آنتن پچ تغییریافته در لبه آن.

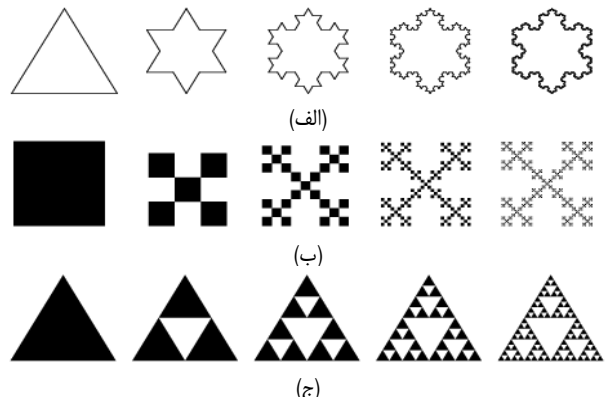
آنتن پچ دایروی اولیه با افزودن دایره‌های کوچک‌تر روی لبه پچ به است که متشکل از یک خط میکرواستریپی ۵۰ آمی و با صفحه زمین که به کانتکتور SMA متصل شده است می‌باشد. در ادامه سعی شده که با استفاده از تکنیک‌های فرکتالی به پاسخ فرکانسی مطلوبی دست یافت و فرکانس تشیدید نیز کاهش یابد. انتخاب فرکانس‌های مختلف در این نوع ساختار با ابعاد کلی آنتن و ابعاد تکرارهای داخلی فرکتال نسبت مستقیم دارد.

### ۱-۳ افزایش محیط پچ

آنتن پچ دایروی اولیه با افزودن دایره‌های کوچک‌تر روی لبه پچ به آنتن بهبودیافته‌ای مطابق ساختار نشان داده شده در شکل ۳ تبدیل شده است. این ساختار جدید پچ توسط شکل پچ دایروی اولیه محاط شده که با رنگ سبز در شکل مشخص گردیده است. با انجام این کار مساحت آنتن کاهش و محیط آن افزایش می‌یابد. افزایش محیط یعنی افزایش طول الکتریکی آنتن که منجر به کاهش فرکانس تشیدید می‌شود. با توجه به نتایج شیوه‌سازی شده S<sub>۱۱</sub> که در شکل ۴ ارائه شده است، مشاهده می‌گردد که آنتن در فرکانس ۲/۸ GHz تشیدید می‌کند و نسبت به حالت قبل که دایروی ساده بود در فرکانس پایین‌تری تشیدید می‌نماید که این پدیده به دلیل زیادشدن طول الکتریکی آنتن است. اما کاهش فرکانس به تنها یک جهت رسیدن به یک پاسخ فرکانسی مطلوب کافی نبوده و باید روشی اعمال کرد که آنتن در تعداد فرکانس‌های بیشتری تشیدید کند. بنابراین بهترین گزینه برای افزایش تعداد فرکانس‌های تشیدید، استفاده از فرکتال‌ها می‌باشد یا به عبارتی تکرار شکل آنتن با ابعاد کوچک‌تر در خود ساختار.

### ۲-۳ ایجاد تکرار اول در آنتن

بهترین شیوه برای فرکتال کردن شکل پچ، ایجاد تکرارهای در خود شکل است، بدین صورت که تکرار فرکتال با یک ضربیب کوچک‌تر در داخل خود ساختار ایجاد شود. یکی از معایبی که فرکتال‌ها و مخصوصاً این نوع



شکل ۲: ساختارهای فرکتالی متدوال، (الف) حلقه کخ، (ب) مینکوسکی و (ج) مثلث سرپینسکی.

بتواند فضای دایره دور خود را بیشتر پر کند، پهنهای باند بیشتری هم خواهد داشت.

می‌توان مشاهده کرد که با افزایش تکرار فرکتال، مساحت حداقل محدود به مساحت دایره می‌شود اما محیط آن به سمت بینهایت می‌کند. این چیزی است که در شکل‌های اقلیدسی انتظارش را نداشتیم چون در این اشکال، با افزایش محیط، مساحت هم افزایش پیدا می‌کند.

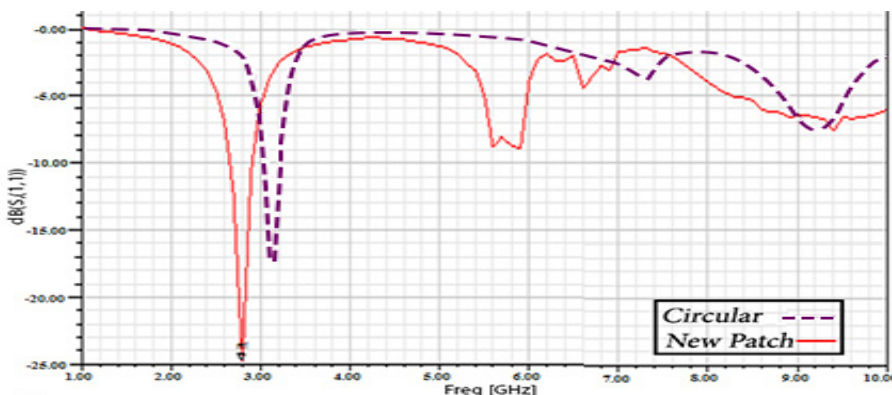
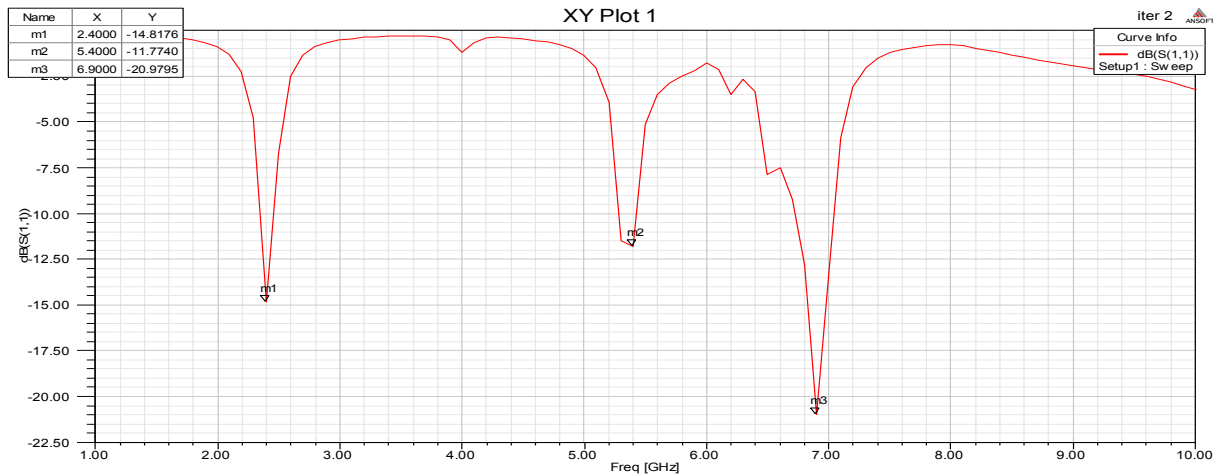
در شکل ۲ چند نمونه از فرکتال‌های معروف به همراه تکرارهایشان آورده شده و قابل مشاهده است که با افزایش تکرار، محیط رو به افزایش و مساحت رو به کاهش می‌باشد.

### ۳- طراحی آنتن

در این مقاله با توجه به نیاز سیستم‌های فرستنده‌ی و گیرنده‌ی در مخابرات امروزی به داشتن آنتن‌های با ابعاد کوچک، سبک و ارزان بر پایه ساختارهای میکرواستریپ، آنتن پیشنهاد و طراحی می‌شود که در آن بتوان به اهداف چندتاشدیدی و فشرده‌سازی دست یافت.

رایج‌ترین شکل پچ‌های آنتن‌های میکرواستریپ، دایروی و مستطیلی می‌باشند که انواع تحلیل‌ها بر روی آنها انجام گرفته است. در این تحقیق، فرایند طراحی با یک شکل پچ ساده شروع می‌شود و در نهایت آنتن مورد نظر و مطلوب به دست خواهد آمد. در مقایسه‌هایی که بین پچ مستطیلی و دایروی انجام گرفته است، عموماً برتری و تمایل به بکارگیری از پچ دایروی در ساخت برخی از آنتن‌ها بوده که بستگی به نوع کاربرد آن دارد. به عنوان نمونه در [۱۶] و [۱۷] نشان داده شده که آنتن با پچ دایروی مشخصات تشعشعی بهتری نسبت به پچ مستطیلی دارد.

آنتن پایه این تحقیق یک آنتن پچ دایره‌ای در باند S است که روی Zیرلایه FR<sup>۴</sup> و با ضخامت ۱/۶ mm با ابعاد ۵,۵×۴,۸ cm<sup>۲</sup> بدون صفحه زمین طراحی می‌شود و لایه (بورد) تقدیم نیز مشابه لایه آنتن است. این آنتن مشابه با دیگر آنتن‌های ساده میکرواستریپی در یک فرکانس تشیدید می‌کند. فرکانس تشیدید آنتن ۳/۱ GHz و شعاع این آنتن

شکل ۴: نمودار شبیه‌سازی  $S_{11}$  برای آنتن با پچ دایروی ساده و پچ تغییریافته در شکل ۳.شکل ۵: نتایج شبیه‌سازی  $S_{11}$  آنتن با تکرار اول ساختار شکل ۳.

آنتن اولیه ۷/۰ است. شکل ۵ آنتن با تکرار اول و شکل ۶ نتایج شبیه‌سازی  $S_{11}$  آن را نشان می‌دهد.

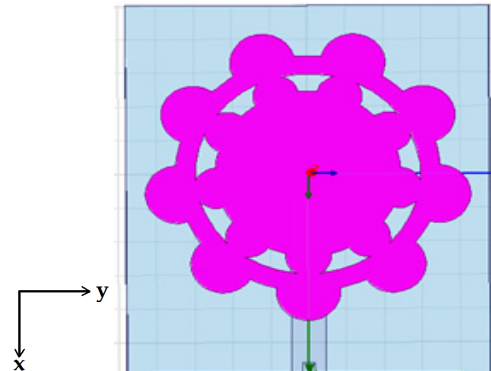
با توجه به شکل ۶ مشاهده می‌شود که به دلیل ایجاد تکرار در ساختار پچ، سه فرکانس تشدید ایجاد شده و اولین فرکانس تشدید به فرکانس پایین‌تری نسبت به حالت قبل شیفت پیدا کرده است. فرکانس‌های تشدید در این حالت  $5/4$  GHz،  $2/4$  GHz و  $6/9$  GHz می‌باشد.

### ۳-۳ آنتن با تکرار دوم

در این مرحله تکرار را بار دیگر بر روی پچ اعمال می‌کنیم. با توجه به ساختار جدید پچ در این مرحله، انتظار می‌رود تعداد فرکانس تشدید بار دیگر افزایش یابد. شکل ۷ ساختار آنتن در تکرار دوم را نشان می‌دهد. همان گونه که در شکل ۸ مشاهده می‌شود، طبق انتظار تعداد فرکانس‌های تشدید به چهار فرکانس افزایش یافته و همچنین پایین‌ترین فرکانس تشدید، به فرکانس کمتری نسبت به حالت قبل شیفت پیدا کرده است. به منظور کاهش بیشتر اولین فرکانس تشدید باقیستی سعی شود محیط آنتن افزایش یابد که این تغییر در قسمت بعد بیان می‌گردد.

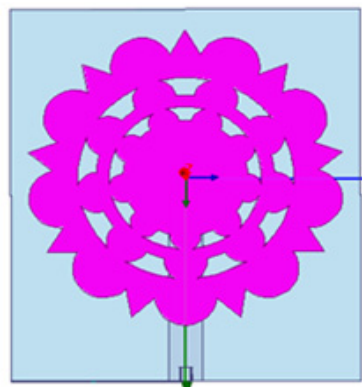
### ۴-۳ آنتن پچ نهایی

در مرحله بعدی به منظور افزایش محیط و همچنین افزایش مساحت پچ شکل ۷ ساختار بهبودیافته‌ای که در شکل ۹ نشان داده شده را ارائه می‌دهیم. در این ساختار بهبودیافته از مثلث‌های کوچک برای پرکردن دایره محاطی استفاده شده که به عبارتی لبه آنتن کنگره‌ای شده است. این افزایش مساحت باید در دایره محاطی پچ رخ دهد و اگر خارج از دایره این اتفاق رخ دهد، باعث افزایش فرکانس تشدید خواهد شد.

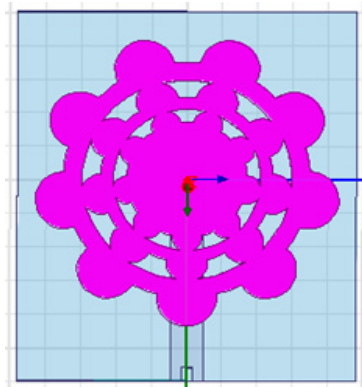


شکل ۶: ساختار آنتن پیشنهادی در تکرار اول.

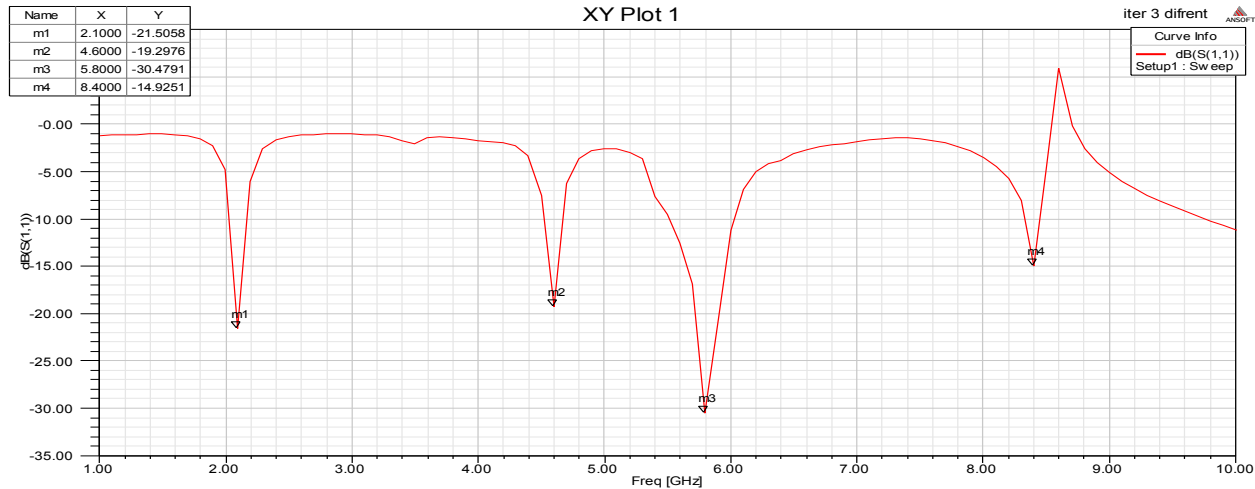
از ساختارهای فرکتالی دارند این است که مساحت ناحیه فلزی زیادی که بستر توزیع جریان تشعشعی روی آنتن است را از دست می‌دهند. همان طور که بیان شد، فرکتال‌ها این توانایی را دارند که تقریباً به محیطی با طول بینهایت و مساحتی نزدیک به صفر برسند. درست است که با افزایش محیط، ابعاد آنتن و یا فرکانس تشدید کاهش می‌یابد اما با از دست دادن بیش از حد مساحت، برخی از مشخصات تشعشعی آنتن از جمله بهره تا حد زیادی از دست می‌رود. برای رفع این مشکل باید مصالحهای بین مساحت و محیط ایجاد شود و به عبارتی بایستی به میزانی محیط افزایش و مساحت کاهش یابد که حتی الامکان مشخصات تشعشعی تخریب نگردد و آنتن قابل بهره‌برداری باشد. به همین علت در ارائه آنتن پیشنهادی در این مرحله لبه‌های تکرار با پچ اصلی درگیر شده است. با این روش محیط و طول الکتریکی افزایش یافته و نیز مساحت کمتری از دست رفته است. نسبت تکرار ایجادشده به



شکل ۹: آنتن فرکتال با افزایش طول الکتریکی توسط مثلث در لبه.



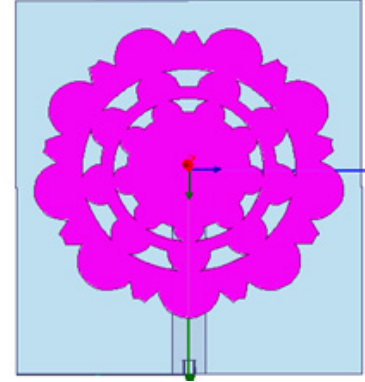
شکل ۷: ساختار آنتن پیشنهادی در تکرار دوم.

شکل ۸: نتایج شبیه‌سازی  $S_{11}$  آنتن با تکرار دوم ساختار شکل ۷

#### نیز می‌گردد.

نتایج شبیه‌سازی  $S_{11}$  این آنتن در شکل ۱۱ نشان داده شده است. با توجه به شکل ۱۱ این آنتن در پنج فرکانس تشدید می‌کند. کوچکترین فرکانس تشدید  $1/\vartheta$  GHz است و فرکانس‌های تشدید بعدی  $4/\vartheta$  GHz،  $5/\vartheta$  GHz،  $7/\vartheta$  GHz و  $8/\vartheta$  GHz پهنه‌ای باند هر کدام به ترتیب،  $130$ ،  $200$ ،  $200$  و  $150$  مگاهرتز می‌باشد.

بنابراین همان طور که ملاحظه می‌گردد در طراحی نهایی، تعداد فرکانس تشدید آنتن به پنج فرکانس افزایش داده می‌شود و علاوه بر این موضوع، فرکانس تشدید اولیه تا حد زیادی کاهش می‌یابد که نشان از کارامدی مناسب فرکتال دارد.



شکل ۱۰: ساختار آنتن نهایی طراحی شده.

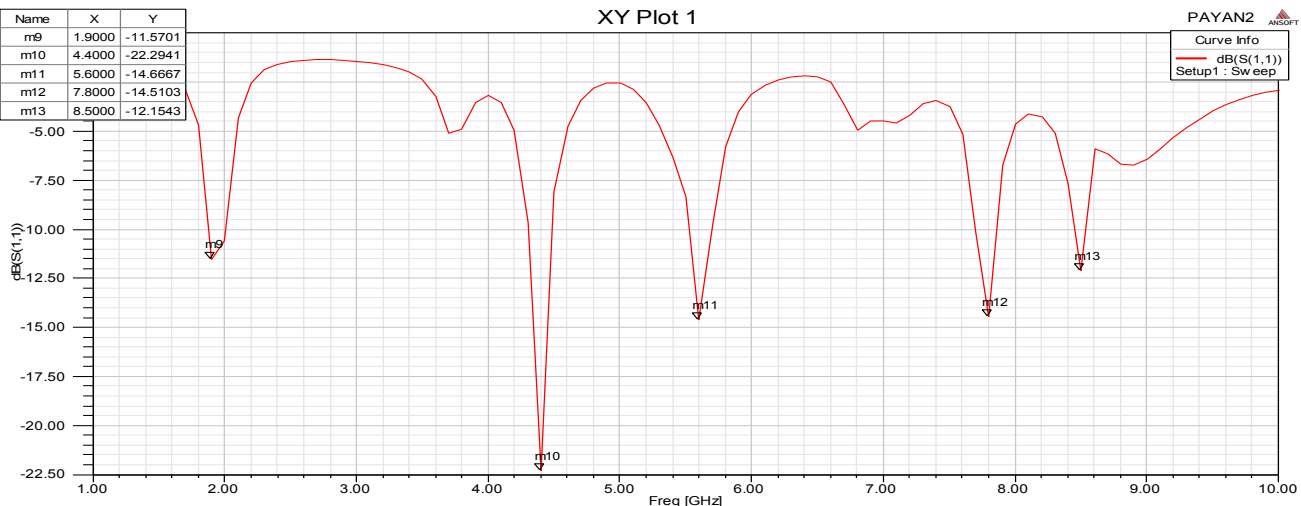
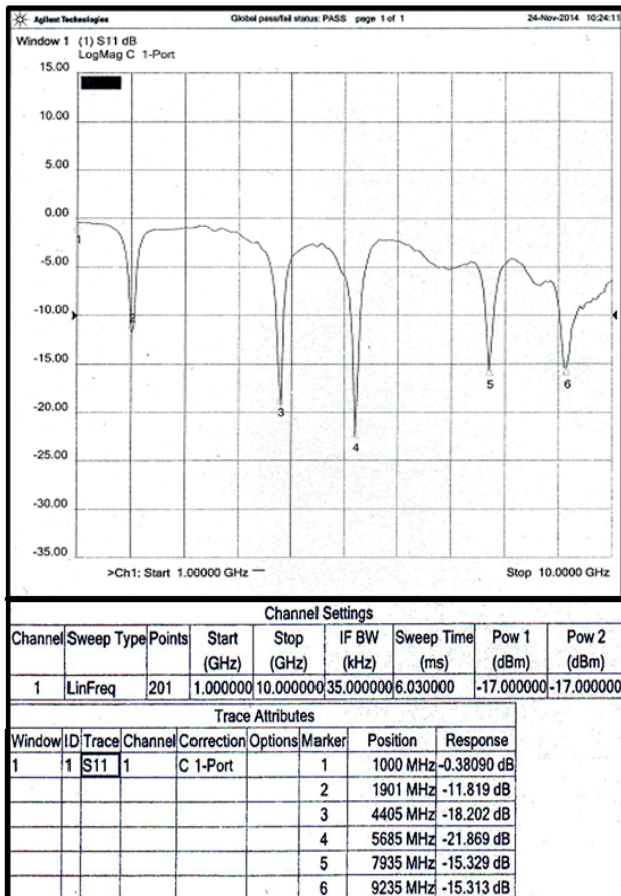
#### ۴- آنتن ساخته شده و مقایسه نتایج

برای بررسی میزان دقت در طراحی آنتن پیشنهادی، نمونه‌ای از این آنتن ساخته شد. شکل ۱۲ تصاویری از آنتن ساخته شده را نشان می‌دهد که به دلیل استفاده از زیرلایه FR $\vartheta$ ، ارزان بوده و به همین دلیل می‌تواند استفاده صنعتی از آن را توجیه پذیر سازد.

آنتن توسط مرکز اندازه‌گیری و اندازه‌شناختی شرکت صنایع الکترونیک شیزار مورد آزمایش و اندازه‌گیری قرار گرفت. خروجی نتایج اندازه‌گیری  $S_{11}$  دستگاه برای این آنتن در شکل ۱۳ نشان داده شده است. برای شبیه‌سازی کامل‌تر آنتن طراحی شده سعی گردیده که تمام موارد ساخت در مرحله شبیه‌سازی در نرم‌افزار نیز لحاظ گردد از جمله بریدگی ایجاد شده بر روی زیرلایه پیچ، اندازه کانکتور و ... . از طرفی دیگر در شبیه‌سازی، سخت‌ترین شرایط برای آنتن در نظر گرفته شد تا حتی امکان وضعیت آنتن در مرحله ساخت، کامل‌تر شبیه‌سازی شود.

از طرفی کنگره‌ای بودن دور لبه پیچ و همچنین فضاهای خالی بر روی پیچ که هر کدام مستقل از یکدیگر شده، از مهم‌ترین دلایل قطبش دایروی در این آنتن می‌باشد. به این موضوع در ادامه مقاله در مبحث نسبت محوری آنتن پرداخته می‌شود.

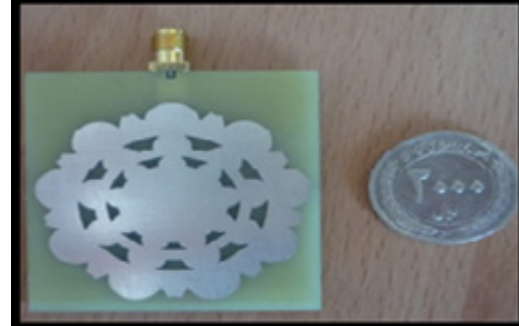
اما همان گونه که در شکل ۹ ملاحظه می‌گردد، نوک مثلث‌ها کمی از دایره محاطی خارج شده‌اند و بنابراین برای رفع این مشکل مطابق با ساختار آنتن در شکل ۱۰، قوسی در نوک هر کدام از مثلث‌ها ایجاد می‌گردد. البته به جای این عمل می‌توان از مثلث‌های کوچکتری نیز استفاده کرد که در این صورت نتایج به دست آمده تأثیری چندانی به وجود نخواهد آورد زیرا در این حالت مساحت و محیط کمتری به پیچ اضافه می‌شود. با ایجاد این قوس در نوک مثلث‌ها، هم محیط کمی افزایش پیدا کرده و هم این که باعث بهبود چند صدم درصدی در بهره

شکل ۱۱: نتایج شبیه‌سازی  $S_{11}$  آتنن نهایی.شکل ۱۳: نتایج اندازه‌گیری  $S_{11}$  آتنن ساخته شده.

فرکانسی نسبت محوری زیر  $1 \text{ dB}$  نیاشد. داشتن قطبش دایروی<sup>۲</sup> نشان‌دهنده افزایش نرخ اطلاعات ارسالی و دریافتی توسط آتنن می‌باشد. همچنین نتایج شبیه‌سازی پترن تشعشعی این آتنن که با نرم‌افزار HFSS انجام گرفته، در شکل ۱۶ نشان داده شده است. برای مشخص‌تر شدن کیفیت عملکرد و خصوصیات این آتنن در مقایسه با کار مشابهی مانند [۱۹] می‌توان جدول ۱ را مشاهده نمود.



(الف)



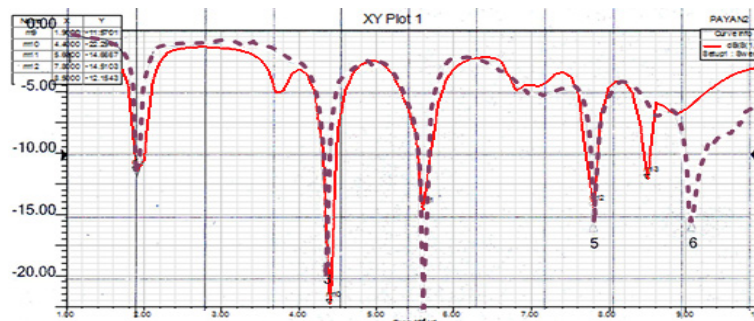
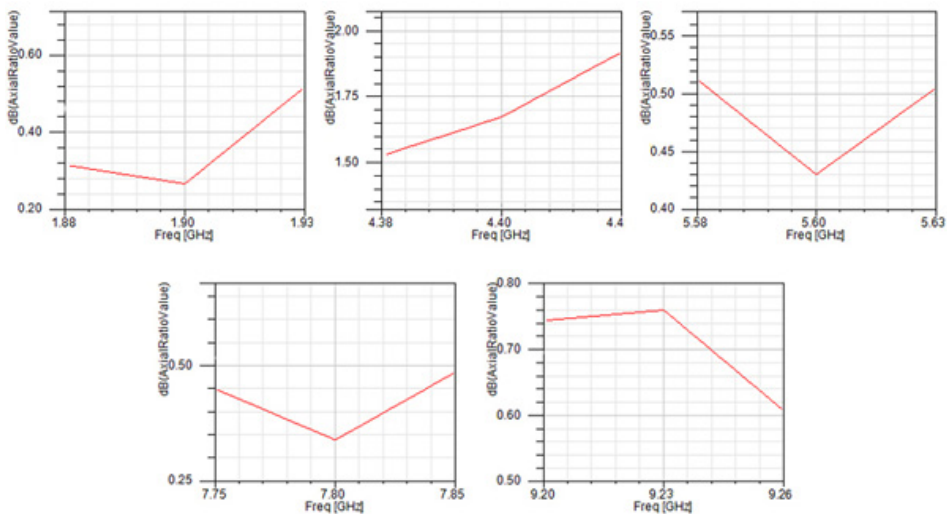
(ب)

شکل ۱۲: تصویر آتنن ساخته شده. (الف) بورد آتنن و بورد تغذیه و (ب) آتنن مونتاژ شده.

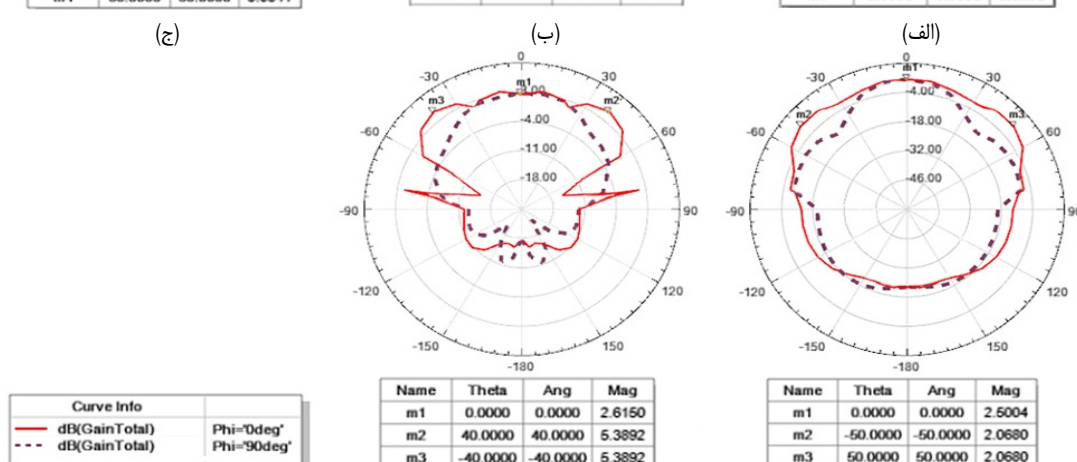
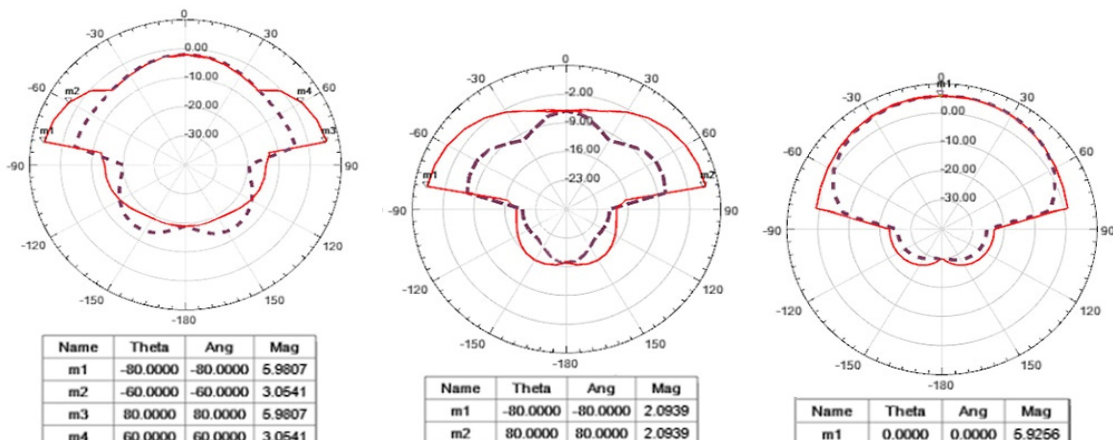
یکی دیگر از مواردی که در مورد آتنن پیشنهادی باید به آن اشاره کرد این است که طول و عرض زیرلایه نسبت به ابعاد پچ کوچک است و پچ بسیار به لبه‌ها نزدیک است. این مورد اغلب باعث تخریب عملکرد آتنن می‌شود اما با توجه به شکل پچ و ملاحظات دیگر، مشاهده می‌گردد که پاسخ فرکانسی آتنن حفظ شده است.

در شکل ۱۴ سعی شده که نتایج شبیه‌سازی و نتایج اندازه‌گیری در یک نمودار مشترک جهت مقایسه بهتر آنها ارائه گردد.

یکی دیگر از مشخصات این آتنن، نسبت محوری<sup>۱</sup> آن است. شکل ۱۵ نتایج شبیه‌سازی شده نسبت محوری آتنن را نشان می‌دهد و همان طور که مشاهده می‌شود در تمام محدوده بازه‌های فرکانس عملکردی آتنن (فرکانس‌های تشدید)، نسبت محوری زیر  $3 \text{ dB}$  می‌باشد که نشان‌دهنده قطبش دایروی خوب این آتنن است [۱۸] هر چند که اکثر بازه‌های

شکل ۱۴: مقایسه نتایج  $S_{11}$  آتن ساخته شده و شبیه سازی، اندازه گیری - خط چین، شبیه سازی - خط پر.

شکل ۱۵: نتایج شبیه سازی شده نسبت محوری AR در بازه های فرکانس عملکرد آتن.

شکل ۱۶: پترن تشعشعی آتن و بهره در فرکانس های تشخیصی، (الف)  $\lambda/8$  GHz، (ب)  $\lambda/6$  GHz، (ج)  $\lambda/4$  GHz، (د)  $\lambda/3$  GHz و (ه)  $\lambda/5$  GHz خط پر  $\varphi = 90^\circ$  و خط چین  $\varphi = 0^\circ$ .

جدول ۱: مقایسه مشخصات آتنن پیشنهادی با آتنن [۱۹].

فعالیت	اندازه (cm)	تعداد فرکانس تشدید	بهره	هزینه (قیمت)	قطبیش
آتنن [۱۹]	۷×۷	۳	پایین	بالا	ضعیف
آتنن پیشنهادی	۵,۴×۴,۸	۵	بالا	پایین	خوب

- [11] H. Malekpoor and S. Jam, "Enhanced bandwidth of shorted patch antennas using folded-patch techniques," *IEEE Antennas and Wireless Propagation Letters*, vol. 12, pp. 198-201, 2013.
- [12] J. S. McLean, "A re-examination of the fundamental limits on the radiation of electrically small antennas," *IEEE Trans. on Antennas Propagation*, vol. 44, no. 5, pp. 672-676, May 1996.
- [13] B. B. Mandelbrot, *The Fractal Geometry of Nature*, New York, W. H. Freeman and Company, 1982.
- [14] K. Falconer, *Fractal Geometry-Mathematical Foundations and Applications*, New York, John Wiley & Sons, 1990.
- [15] C. Puente-Baliarda, J. Romeu, R. Pous, and A. Cardama, "On the behavior of the sierpinski multiband fractal antenna," *IEEE Trans. on Antenna and Propagation*, vol. 46, no. 4, pp. 517-524, Apr. 1998.
- [16] O. Hazila, S. A. Aljunid, F. Malek, and A. Sahadah, "Performance comparison between rectangular and circular patch antenna array," in *Proc. IEEE Student Conf. on Research and Development, SCOReD'10*, pp. 47-51, Kuala Lumpur, Malaysia, 13-14 Dec. 2010.
- [17] T. Durga Prasad, K. V. Satya Kumar, M. D. Khwaja Muinuddin, C. B. Kanthamma, and V. Santosh Kumar, "Comparisons of circular and rectangular microstrip patch antennas," *International J. of Communication Engineering Applications*, vol. 2, no. 4, pp. 187-197, Jul. 2012.
- [18] M. H. Zolghadri and S. Jam, "Compact broadband circular polarization antenna for UHF RFID Tags," in *Proc. Int. Conf. on Electrical, computer, Mechanical and Mechatronics, ICE'15*, Istanbul, Turkey, 27-28 Aug. 2015.
- [19] H. Oraizi and S. Hedayati, "Miniatrization of microstrip antennas by the novel application of the Giuseppe Peano fractal geometries," *IEEE Trans. on Antennas and Propagation*, vol. 60, no. 8, pp. 3559-3567, Aug. 2012.

شاهرخ جم در سال ۱۳۶۷ مدرک کارشناسی مهندسی برق را از دانشگاه شیراز با گرایش برق و الکترونیک و در سال ۱۳۷۰ مدرک کارشناسی ارشد و دکترای تخصصی مهندسی برق-مخابرات با گرایش میدان را از دانشگاه علم و صنعت ایران به ترتیب در سال ۱۳۷۰ و ۱۳۸۰ دریافت نمود. از سال ۱۳۷۰ تا ۱۳۸۳ نامبرده به عنوان عضوهای علمی در دانشگاه شیراز به کار مشغول بود و پس از راهنمایی دانشگاه صنعتی شیراز از سال ۱۳۸۳ تا کنون در گروه مخابرات آن دانشگاه در مرتبه دانشیار ادامه کار داده است. زمینه‌های علمی مورد علاقه ایشان آتنن، میکروویو، ساختارهای میکرواستریپی و رادار می‌باشد. ایشان هم‌اکنون عضو ارشد (Senior Member IEEE) انجمن مهندسی برق و الکترونیک هستند.

أوش مهیوودی در سال ۱۳۹۰ مدرک کارشناسی مهندسی برق خود را از دانشگاه آزاد اسلامی واحد کارزون در رشته مخابرات و در سال ۱۳۹۰ مدرک کارشناسی ارشد مهندسی برق-مخابرات را در گرایش میدان از دانشگاه صنعتی شیراز دریافت کرد. نامبرده پس از فارغ‌التحصیلی از سال ۱۳۹۳ تا کنون در زمینه‌ی مخابرات نفت و گاز مشغول به فعالیت است و زمینه‌های علمی مورد علاقه ایشان بررسی و مطالعه پوشش آتنن‌ها در سایت‌های صنعتی می‌باشد.

## ۵- نتیجه‌گیری

آتنن پیشنهادی که در این مقاله ارائه شده است علاوه بر ابعاد کوچک و توانایی تشدید در چندین فرکانس، دارای مزایای دیگری نیز می‌باشد که از آن جمله می‌توان به بهره خوب، الگوی تشعشی مطلوب و قطبیش دایروی اشاره کرد. این عملکرد خاص در کنار ابعاد کوچک و چند فرکانسی بودن آن و همچنین استفاده از زیرلایه بسیار ارزان، نشان می‌دهد که آتنن طراحی شده از نوع فرکتالی برای تولید و استفاده در صنعت بسیار کاربردی خواهد بود.

## مراجع

- R. C. Hansen, "Limitations in antennas," *Proceedings of the IEEE*, vol. 69, no. 2, pp. 170-182, May 1981.
- C. A. Balanis, *Antenna Theory, Analysis, and Design*, ISBN 978-81-265-2422-8, John Wiley & Sons, Inc., U. K., 2013.
- ح. سعیدیان و ش. جم, "تطبیق امپدانس پهن‌باند آتنن میکرواستریپ با ترویج روزنہ برای کاربردهای بی‌سیم", *بیست و یکمین کنفرانس مهندسی برق ایران*, ۶ صص، مشهد، ۲۶-۲۴ اردیبهشت ۱۳۹۲.
- H. Malekpoor and S. Jam, "Analysis on bandwidth enhancement of compact probe-fed patch antenna with equivalent transmission line model," *IET Microwaves, Antennas & Propagation*, vol. 7, no. 1, pp. 8-1, May 2015.
- H. Malekpoor and S. Jam, "Design of an ultra-wideband microstrip patch antenna suspended by shorting pins," *Wireless Personal Communications (Springer)*, vol. 68, no. 2, pp. 3059-3068, Jan. 2013.
- C. Y. D. Sim, J. T. Yeh, C. W. Lin, B. S. Chen, and H. D. Chen, "A slot antenna with circularly polarized radiation for WLAN applications," in *Proc. IEEE 4th Asia-Pacific Antennas and Propagation Conf., APCAP'15*, pp. 168-169, Kuta, Indonesia, Jun. 2015.
- S. Sharma, V. N. Saxena, K. Goodwill, S. K. Singh, and K. Sharma, "CPW fed rectangular slot antenna with dual H-slot on ground for wideband wireless applications," in *Proc. Int. Conf. Signal Processing and Communication, ICSC'15*, pp. 439-442, Noida, India, Mar. 2015.
- H. Malekpoor and S. Jam, "Ultra-wideband shorted patch antennas FED by folded-patch with multi resonances," *Progress in Electromagnetics Research B*, vol. 44, pp. 309-326, 2012.
- H. Malekpoor and S. Jam, "Miniaturized asymmetric E-shaped microstrip patch antenna with folded-patch feed," *IET Microwaves, Antennas and Propagation*, vol. 7, no. 2, pp. 85-91, 2013.
- H. Malekpoor, A. Bazrkar, S. Jam, and F. Mohajeri, "Miniaturized trapezoidal patch antenna with folded ramp-shaped feed for ultra-wideband applications," *Wireless Personal Communications*, vol. 69, no. 3, pp. 1935-1947, Mar. 2013.